

مطالعات آزمایشگاهی و عددی بر روی رفتار سیستم قاب بتن مسلح با ساندویچ پانل و دیوار برشی

محمد زمان کبیر، دانشیار، گروه سازه، دانشکده مهندسی عمران و محیط زیست، دانشگاه صنعتی امیرکبیر
شاپور طاحونی، استادیار، گروه سازه، دانشکده مهندسی عمران و محیط زیست، دانشگاه صنعتی امیرکبیر
مجید صافحیان، دانشجوی کارشناسی ارشد گرایش سازه، دانشکده مهندسی عمران و محیط زیست، دانشگاه صنعتی امیرکبیر

چکیده

کلیدواژه‌ها: ساندویچ پانل، دیوار برشی، بارگذاری چرخه‌ای
افزاینده، شکل‌پذیری، قاب خمشی بتن مسلح

یکی از روش‌های نوین بهسازی لرزه‌ای ساختمانهای موجود، افزودن میان قابهای پیش‌ساخته از جمله پانل‌های سبک ساندویچی است.

۱- مقدمه

امروزه با گذشت حداقل سه دهه از احداث تعداد زیادی ساختمان که مطابق آیین‌نامه‌های قدیم طراحی و ساخته شده‌اند و توجه به این نکته که در بسیاری از این موارد نیروهای طرح لرزه‌ای به اندازه کافی مدد نظر قرار نگرفته است، مسئله مقاوم‌سازی و بهسازی لرزه‌ای ساختمانهای موجود به یکی از چالش‌های مهم مهندسی مبدل گشته است [۱].

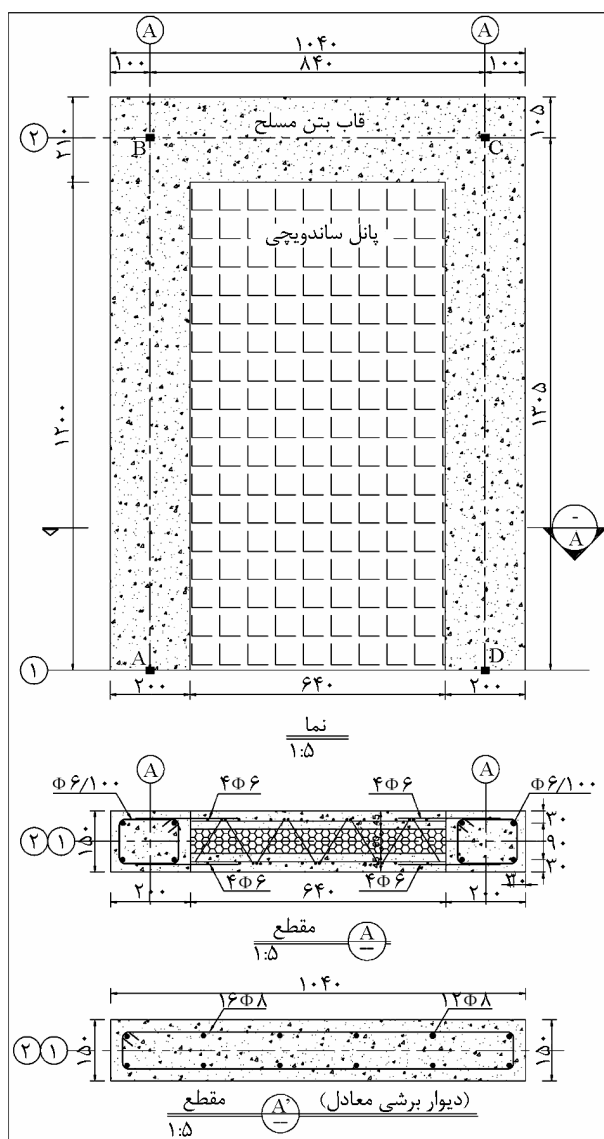
یکی از روش‌های متدائل بهسازی لرزه‌ای در سطح سیستم کلی باربر جانبی سازه، جایگزینی و افزودن میان‌قابها است. این راهکار در ساختمانهایی که به علت کاربری خاص آنها به جداسازی‌های فراوانی در پلان معماری نیاز دارند، کاربرد مناسبی خواهد داشت. از جمله انواع نوین و پیش‌ساخته این میان‌قابها، پانل‌های سبک ساندویچی هستند که در محل به قاب فلزی یا بتنه موجود افزوده می‌شوند. با توجه به سرعت و سهولت بالای اجرا، سبکی، عایق صوتی بودن و به علاوه صرفه‌جویی در مصرف انرژی به خاطر هسته پلی‌استایرن در وسط، استفاده از این پانل‌ها روزبه‌روز گسترش بیشتری پیدا می‌کند [۲].

مطابق شکل (۱)، پانل‌های پیش‌ساخته سبک شامل دو صفحه شبکه مفتول‌های جوش شده هستند که یک لایه عایق پلی‌استایرن در میان آنها قرار گرفته و توسط تعدادی اعضای خربایی به یکدیگر متصل شده‌اند. این پانل‌ها به

در این مقاله ابتدا با انجام مطالعات آزمایشگاهی بر روی دو گروه پانل ساندویچی $120 \times 120 \times 60$ سانتی‌متر و $120 \times 120 \times 120$ سانتی‌متر رفتار واقعی پانل‌ها و همچنین مشخصات مکانیکی آنها استخراج گردیده است. سپس با استفاده از توصیه‌های آیین‌نامه‌های معتبر از جمله FEMA356 و FEMA273، تأثیر افزودن ساندویچ پانل یا دیوار برشی بر روی رفتار لرزه‌ای یک قاب درگاهی بتن مسلح مورد بررسی و مقایسه قرار گرفته است. روش این پژوهش مبتنی بر نتایج حاصل شده از اعمال بار جانبی افزاینده چرخه‌ای می‌باشد که به صورت دندانه‌ای در بالاترین تراز مدل اعمال شده است. به این ترتیب پارامترهای باربری جانبی بیشینه، تغییرشکل نهایی، روند کاهش سختی و نهایتاً میزان شکل‌پذیری در هر یک از حالات محاسبه و ارائه شده است. نتایج حاصل از این تحقیق نشان می‌دهد که افزودن پانل به قاب بتن مسلح موجود، پریود ارتعاش مود اول سازه را ۲۱ درصد کاهش می‌دهد. به علاوه پارامترهای سختی، شکل‌پذیری و باربری نهایی قاب اولیه به ترتیب 30° ، 80° و 40° درصد افزایش می‌باید.

همچنین نتایج مثبت راهکار افزودن پانل‌های ساندویچی به قابهای موجود در قیاس با افزودن دیوار برشی عبارتند از: الف- پتانسیل بالاتر در حفظ سختی سازه به ویژه در تغییر شکلهای زیاد، ب- شکل‌پذیری مناسبتر، پ- حجم کمتر صالح مصرفی و ت- سهولت بالاتر اجرا.

آرماتورهای موجود در مدل‌های مورد بررسی در شکل (۲) نشان داده شده است.

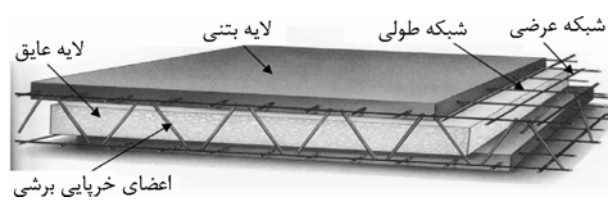


شکل (۲): مشخصات هندسی و آرماتورگذاری مدل‌های مورد مطالعه.

۲- مطالعات آزمایشگاهی

بر اساس روش ذکر شده در مقدمه و مطابق تصویر (۱)، مدل آزمایشگاهی دقیقی از حالت ترکیبی قاب بتنی و ساندویچ پانل ساخته و در آزمایشگاه سازه پژوهشگاه بین‌المللی زلزله‌شناسی و مهندسی زلزله تحت بارگذاری جانبی قرار گرفته است. جزئیات دقیق‌تر در خصوص چگونگی ساخت و آزمایش مدل‌ها و همچنین نتایج کامل به دست آمده از این آزمایشها در مرجع [۱۲] آورده شده است.

عنوان المان دیوار و سقف در ساختمان به کار می‌روند [۳]. عرض یکسان پانل‌ها ۱۲۰ سانتیمتر می‌باشد و بسته به کاربردهای مختلف، طول و ضخامت‌های مختلف دارند.

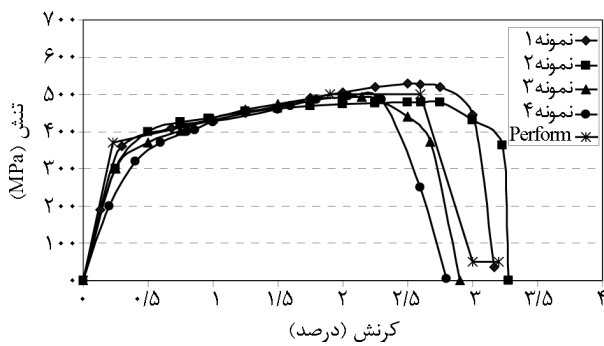


شکل (۱): نمای سه‌بعدی پانل‌های ساندویچی و اجزای آن [۴].

پانل‌های دیوار علاوه بر این که جداکننده فضاهای معماری هستند، نقش المان باربر قائم و المان سخت‌کننده در برابر بارهای جانبی را هم ایفاء می‌کنند.

بیشتر تحقیقات موجود بر روی پانل‌ها، شامل آزمایشات برشی و خمشی در حالت بارهای یک طرفه و استاتیکی است [۶-۵]. به منظور بررسی انتقال برش بین لایه‌ای در پانل‌های ساندویچی و تخمین ظرفیت خمشی آنها، آزمایشاتی انجام شده است که در نتیجه ضریب عملکرد کامپوزیتی لایه‌ها جهت کنترل کفایت المانهای برشی به دست آمده است [۷]. همچنین در تحقیق دیگری نمونه‌هایی از این پانل‌ها تحت بارهای استاتیکی رفت و برگشتی قرار گرفته و منحنی‌های هیسترزیس آنها به دست آمد و برای هر پانل یک ضریب رفتار و یک ضریب افزایش تغییر مکان تعیین گردیده است [۸].

على رغم مزایای عمدۀ نهفته در سیستم ترکیبی قاب و پانل، چگونگی رفتار و اندرکنش اجزای مختلف آن تاکنون مورد بررسی و ارزیابی کافی قرار نگرفته است. از این رو در این مقاله سعی شده است تا ابتدا با انجام مطالعات آزمایشگاهی و سپس مطالعات عددی، مقایسه‌ای بین مدل‌های پنج گانه قاب بتنی تنها، ترکیب قاب و پانل با سربار ثقلی و بدون سربار ثقلی و ترکیب قاب و دیوار برشی انجام گیرد. به این منظور از توصیه‌های آیین‌نامه‌های معتبر از جمله دستورالعمل بهسازی لرزه‌ای ساختمانهای موجود [۹] و FEMA356 [۱۰] و FEMA273 [۱۱]، در کنار المانهای مختلف غیرخطی دو نرم‌افزار Ram Perform و Ansys استفاده شده است. ابعاد هندسی و آرایش



شکل (۳): نمودار تنش-کرنش مفتولهای داخلی پانل ساندویچی.

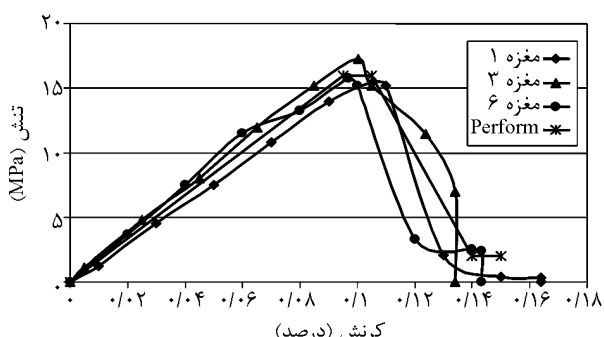
جدول (۱): هندسه و مقاومت فشاری نمونه‌های استاندارد بتن قاب.

حداکثر نیروی اعمالی (کیلونیوتن)	وزن مخصوص (کیلوگرم/امتزامکعب)	ابعاد نمونه (میلیمتر)	محل بتن مصرفی
۶۴۰	۲۳۶۰	۱۵۰×۱۵۰×۱۵۰	قاب
۴۶۰	۲۱۵۷	۱۵۰×۱۵۰×۱۵۰	پانل

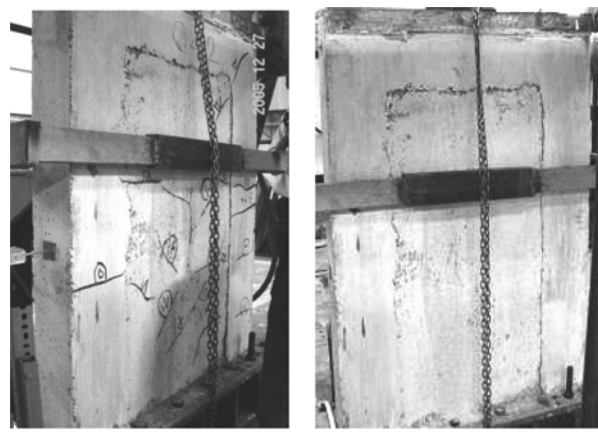
جدول (۲): هندسه و مقاومت فشاری مغزه‌های استوانه‌ای بتن شاتکریتی.

مقاطومت فشاری مغزه (کیلوگرم/سانتیمترمربع)	وزن مخصوص (قطر × طول) (کیلوگرم/امتزامکعب)	ابعاد (میلیمتر)	شماره مغزه
۱۳۲/۲	۲۲۵۳	۵۴/۴×۱۱۲/۳	۱
۱۱۹/۴	۲۱۹۷	۵۴/۴×۱۰۲/۹	۲
۱۳۸/۹	۲۳۰۲	۵۴/۴×۱۱۹	۳
۱۴۷/۳	۲۲۹۱	۵۴/۴×۱۰۸/۲	۴

با بهره‌گیری از نتایج آزمایشات فوق می‌توان دیاگرام تنش-کرنش بتن شاتکریتی را در فشار به صورت منحنی شکل (۴) در نظر گرفت. لازم به ذکر است علی‌رغم رفتار سه‌می شکل بتن، در نرمافزار *Perform*، رفتار غیرخطی مصالح به صورت چند خطی مدل می‌شود. از این رو منحنی شکسته شکل (۴) که نزدیکترین همخوانی را با رفتار واقعی مغزه‌های آزمایشی دارد، برای مدلسازی بتن شاتکریتی انتخاب شده است.



شکل (۴): نمودار تنش-کرنش بتن شاتکریتی.



تصویر (۱): مدل آزمایشگاهی قاب ترکیبی با ساندویچ پانل.

در استاندارد *ASTM A82*، حداقل مقاومت جاری شدن و نهایی کششی مفتولهای فولادی مورد استفاده در شبکه جوش شده به ترتیب برابر $485MPa$ و $385MPa$ تعیین شده است. این استاندارد برای کرنش‌های متناظر با تنشهای فوق، ضابطه محدود کننده‌ای ذکر نکرده است.

مشخصات مکانیکی مفتولهای مورد استفاده در شبکه جوش شده پانل‌های آزمایشگاهی بر اساس استاندارد فوق می‌باشد که مطابق روش جوش اتوماتیک موجود در *ASTM A185* به یکدیگر متصل شده‌اند.

شبکه جوش شده در کلیه نمونه‌های پانلی عبارت است از مفتولهای با قطر $3/5$ میلیمتر که به طور عمودی و افقی با فواصل یکسان 80 میلیمتر روی هم جوش شده‌اند. $(\text{Tار و پود}) \frac{80/80/\phi 3.5}{L/1200} \text{ همچنین قطر}$

مفتولهای برشی مورب نیز $3/5$ میلیمتر و از همان جنس مفتولهای شبکه می‌باشد. ضخامت لایه عایق پلی استایرن نیز در کلیه نمونه‌ها 6 سانتیمتر و فاصله دو شبکه از یکدیگر 10 سانتیمتر می‌باشد.

با توجه به نتایج به دست آمده از طریق تست مقاومت کششی چهار نمونه از مفتولهای موجود در شبکه جوش شده پانل‌ها، دیاگرام تنش-کرنش متناظر با رفتار واقعی این مفتولهای در شکل (۳) نشان داده شده است.

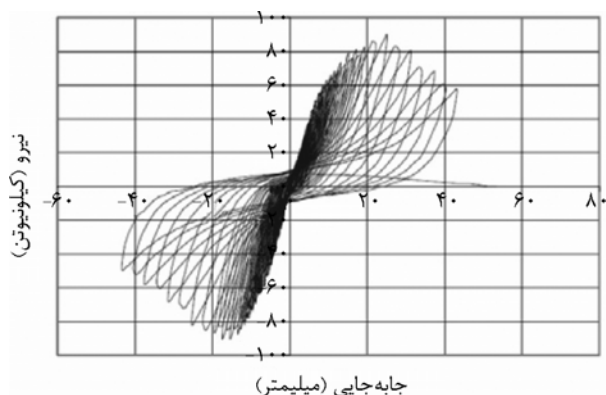
همچنین جهت تعیین مشخصات واقعی بتن مصرفی در قاب و پانل نیز نمونه‌های استاندارد مکعبی و مغزه‌های استوانه‌ای تهیه شده است که در جدولهای (۱) و (۲)، نتایج تست مقاومت فشاری این نمونه‌ها آمده است.

به صورت کلی تر در نرم افزار *Perform* تهیه شده است. در شکل (۷)، نمایی از اجزای مختلف مدل های عددی مشاهده می گردد. همچنین تعاریف غیر خطی مصالح مورد استفاده مطابق مشخصات ذکر شده در مرجع [۱۳] و نمودارهای تنش - کرنش شکلهای (۳) و (۴) می باشد.

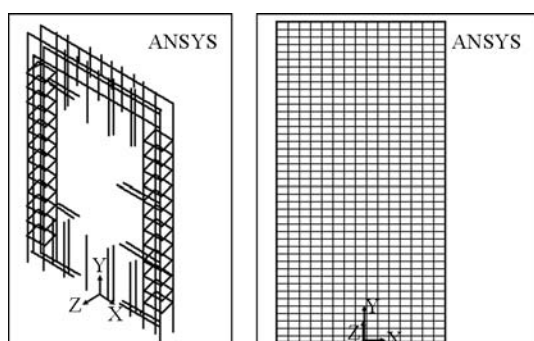
به این ترتیب علاوه بر ارائه منحنی های پوش بار - تغییر مکان و روند تغییرات سختی حالات پنج گانه در یک دستگاه مختصات، شکلهای (۸) و (۹)، مقادیر عددی برداشت شده از منحنی های فوق و نسبت تغییرات در قالب جدول (۴) خلاصه شده است.

جدول (۳): نتایج آزمایش سیستم ترکیبی در بارگذاری سیکلی افزاینده.

سختی نمونه (kN/m)		نیروی عکس العمل (kN)		جابه جایی افقی (mm)		شماره سیکل
برگشت	رفت	برگشت	رفت	برگشت	رفت	
۱۰۶۷	۲۰۹۹۱	۴/۱۶۰	۰/۰۸۴	۰/۳۹۰	۰/۴۰۰	۱
۷۵۸۷	۱۱۹۷۹	۱۶/۴۷۲	۲۱/۹۴۵	۲/۱۷۱	۱/۸۲۲	۱۰
۷۳۳۰	۸۹۱۴	۴۵/۰۲۰	۴۶/۲۵۷	۶/۱۴۲	۵/۱۸۹	۲۰
۵۱۷۳	۶۵۳۹	۷۹/۳۱۶	۸۷/۳۲۳	۱۵/۳۳۴	۱۳/۳۵۵	۳۰
۱۳۳۶	۱۷۲۸	۵۷/۹۲۰	۵۷/۷۹۰	۴۳/۳۶۷	۳۳/۴۴۲	۴۰

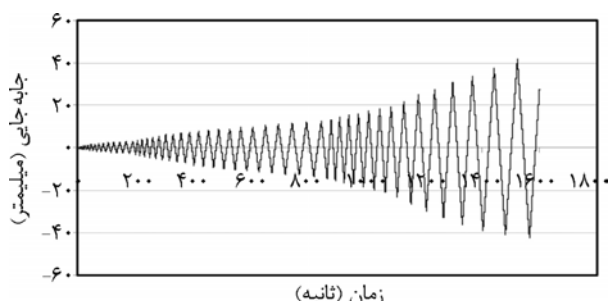


شکل (۶): منحنی های هیستوژرس مدل آزمایشگاهی.



شکل (۷): مدل های عددی پانل و قاب در نرم افزار Ansys.

در مطالعات آزمایشگاهی جهت شبیه سازی حرکات رفت و برگشتی سازه در حین وقوع زلزله، از روش های ساده سازی همچون بارگذاری های چرخه ای وابسته به زمان استفاده می گردد. از آنجا که تاکنون روش استانداردی جهت بارگذاری چرخه ای در این سیستم های ترکیبی خاص تهیه نشده است، در نمونه حاضر بار جانبی به صورت شبه استاتیکی و کنترل شونده توسط تغییر مکان در سیکل های متوالی به قسمت فوقانی قاب ترکیبی اعمال شده است. این الگوی بار شامل سه مرحله اصلی ترک خوردنگی، جاری شدن و نهایی می باشد. در شکل (۵)، منحنی تاریخ چه زمانی بار مورد نظر نشان داده شده است.



شکل (۵): نمودار بارگذاری دندانهای سیستم قاب ترکیبی آزمایشگاهی.

مشاهدهات حین آزمایش نمونه نشان می دهد که اولین ترکها در ارتفاع تقریبی ۴۰۰ میلیمتر از پای ستون اتفاق می افتد. سپس ترکهای مایل در نیمه پایین پانل آغاز می گردد تا جایی که با افزایش تغییر مکان اعمالی، ترکها در هر دو لایه پانل پخش می شود.

در ادامه پس از ایجاد شکاف در حد فاصل قاب و پانل، ترکهای موجود در بتن شاتکریتی به یکدیگر رسیده و باز شده و در نهایت پانل داخلی کاملاً باربری خود را از دست می دهد. در جدول (۳) و همچنین شکل (۶)، نتایج مطالعات آزمایشگاهی آورده شده است.

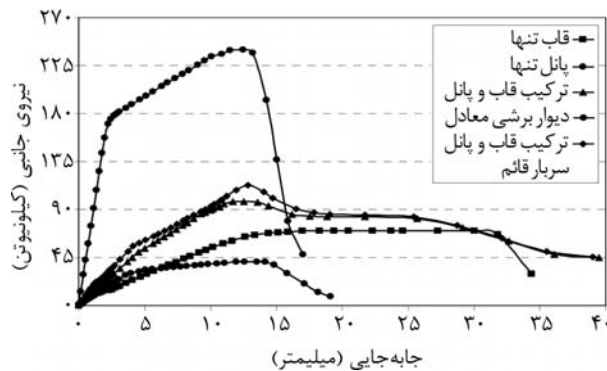
۳- مطالعات عددی

بر اساس مشخصات هندسی و آرماتور گذاری شکل (۲) و همچنین امکانات مدل سازی های عددی در نرم افزارهای غیر خطی مدل های دو بعدی کاملی با تمام جزئیات آرماتور گذاری و اتصال بین اعضاء در نرم افزار Ansys

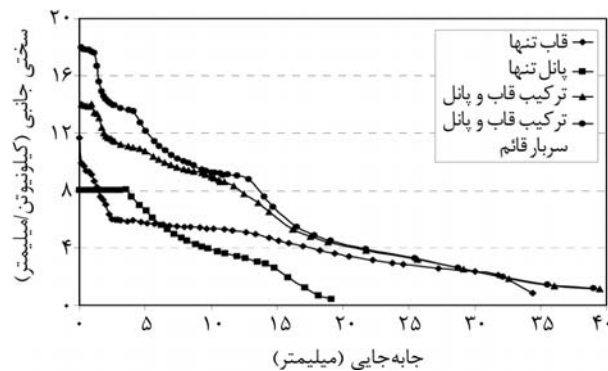
به علت محدود بودن شرایط آزمایشگاهی، امکان اعمال بار نقلی خارجی بر روی نمونه‌های تهیه شده وجود نداشته است. با این حال در شرایط واقعی بهره‌برداری، بارهای قائم مرده و زنده همواره بر روی سیستم ترکیبی اعمال خواهد شد. از این رو مدل عددی ساخته شده از سیستم ترکیبی مجدداً با بارگذاری قائم خطی $1/25$ تن بر متر بر روی تیر فوقانی تحلیل شده است. نتایج بررسیها نشان می‌دهد که این مسئله باعث افزایش به ترتیب 24 و 16 درصدی در سختی اولیه و برابری نهايی سازه می‌گردد. علت آن نیز قرار گرفتن سیستم سازه تحت فشار اولیه می‌باشد، چرا که عموماً در سازه‌های بتنی وجود فشار در حد کم و مناسب علاوه بر تأخیر در بروز ترکهای ناشی از کشش و برش بتن، سبب بهبود عملکرد اندرکنشی نیروی محوری فشاری و لنگر خمشی می‌گردد. با این وجود رفتار سیستم ترکیبی در تغییرشکلهای بزرگ تفاوت چندانی نخواهد داشت؛ زیرا اعمال سربار قائم علاوه بر نکات مثبت فوق، باعث بروز لنگرهای ثانویه در اجزای سازه خواهد شد که در جهت خلاف اینی می‌باشد.

از آنجایی که در ساخت مدل آزمایشگاهی از یک سو به علت ابعاد محدود و سایر مشکلات اجرایی امکان رعایت ضوابط شکل‌پذیری زیاد مندرج در آیین‌نامه‌ها به راحتی فراهم نمی‌باشد و از سوی دیگر وضعیت واقعی بسیاری از سازه‌های بتن مسلح موجود در سطح کشور به گونه‌ای است که نمی‌توان از آنها توقع تحمل تغییرشکلهای بزرگ در حین زلزله‌های شدید را داشت، تغییرشکل نهايی قاب اولیه به 35 میلیمتر محدود می‌گردد. در حالی که نتایج تحلیل‌های عددی نشان می‌دهد که پس از افزودن پانل به آن حتی در زمان اعمال تغییرشکل 40 میلیمتر نیز همچنان سیستم ترکیبی باربری مناسبی دارد. این مسئله در نتایج آزمایشگاهی نیز حاصل شده است.

از نکات قابل توجه در رفتار سیستم ترکیبی نقش پانل افزوده شده در گستره تغییرشکلهای متوسط به بالا می‌باشد؛ چرا که نتایج تحلیل صورت گرفته بر روی پانل تنها نشان می‌دهد که این المان سازه‌ای عملاً پس از تغییرشکل در حدود 20 میلیمتر، باربری جانبی خود را کاملاً از دست



شکل (۸): مقایسه منحنی‌های پوش حلقه‌های هیستریزیس در ترکیبات مختلف قاب و پانل.



شکل (۹): مقایسه منحنی‌های روند کاهش سختی در ترکیبات مختلف قاب و پانل.

جدول (۴): مقایسه نتایج مدل‌های عددی.

معیارهای مقایسه	مدل عددی در نرم‌افزار Perform					
	پانل تنها (۱)	قاب تنها (۲)	پانل بدون سربار (۳)	ترکیب قاب و پانل با سربار (۴)	ترکیب قاب و پانل (۵)	دیوار برپشی معادل (۶)
حداکثر نیروی اعمالی σ^* (کیلونیوتن)	$41/2$	$70/1$	$97/5$	113	$239/6$	
حداکثر تغییرمکان δ^* (میلیمتر)	$15/6$	$32/7$	$27/6$	$16/6$	$14/1$	
سختی اولیه σ_0^* (کیلونیوتن / میلیمتر)	$8/0$	$7/7$	$13/5$	$16/7$	$80/0$	
شكل‌پذیری (بی بعد) μ^*	$3/3$	$2/6$	$3/4$	$3/1$	$4/4$	
پریود مدول T^* (ثانیه)	$0/105$	$0/12$	$0/095$	$0/089$	$0/024$	

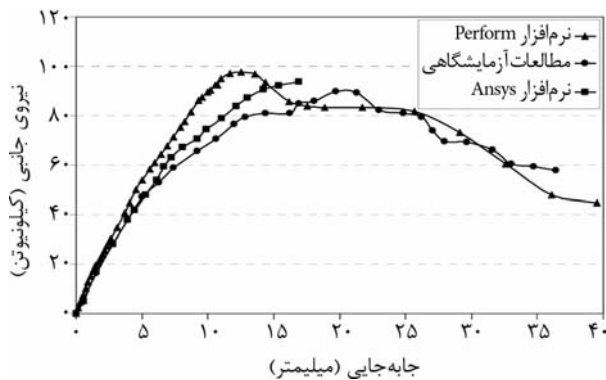
$$K_i - {}^*_{\bar{3}} \quad \Delta_{max} - {}^*_{\bar{2}} \quad P_{max} - {}^*_{\bar{1}} \\ T - {}^*_{\bar{5}} \quad \mu - {}^*_{\bar{4}}$$

۴- مقایسه نتایج مطالعات آزمایشگاهی با تحلیل‌های عددی

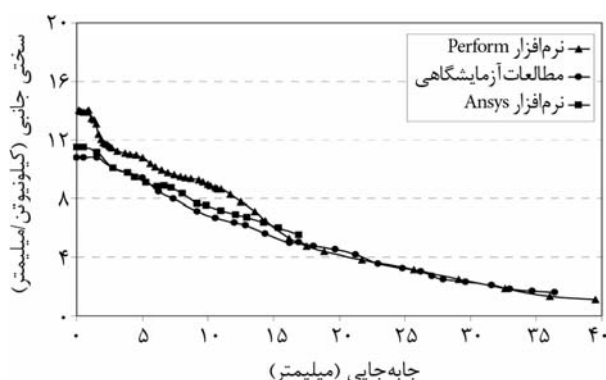
با توجه به نتایج ارائه شده در دو قسمت قبل و تحلیل‌های انجام شده توسط نرم‌افزارهای غیرخطی، اکنون جهت درک بیشتر تفاوتها و شباهتها، منحنی‌های متناظر در مطالعات آزمایشگاهی و عددی در مدل ترکیب قاب و پانل به صورت همزمان و بر روی یک دستگاه مختصات در شکل‌های (۱۰) و (۱۱) آورده شده‌اند. همچنین مقادیر عددی برداشت شده از منحنی‌های فوق و درصد اختلاف در قالب جدول (۵) خلاصه شده است.

طبق انتظار و به علت فرضیات مورد استفاده در مدلسازی‌های نرم‌افزاری، نتایج آنالیزهای عددی نسبت به نتایج مدل آزمایشگاهی در سطح بالاتری قرار دارد.

از دیگر نتایج حاصل شده از مقایسه منحنی‌های پوش حلقه‌های هیسترزیس، دامنه عملکرد خطی بیشتر و



شکل (۱۰): مقایسه نتایج مطالعات آزمایشگاهی و عددی در منحنی‌های پوش حلقه‌های هیسترزیس مدل قاب و پانل.



شکل (۱۱): مقایسه نتایج مطالعات آزمایشگاهی و عددی در منحنی‌های روند کاهش سختی مدل قاب و پانل.

می‌دهد. این در حالی است که پانل پس از قرارگیری در داخل سیستم ترکیبی به علت نقش محصورکنندگی قاب پیرامونی، نه تنها میزان برابری قاب اولیه را همچنان افزایش می‌دهد بلکه سبب شده تا شبیه انتهایی منحنی رفتار سازه به صورت کاملاً ملایم درآید. این نکته در عملکرد مناسب و ایمن سازه در حین زلزله‌های شدید بسیار حائز اهمیت می‌باشد.

یکی از گزینه‌های مرسوم در جهت تقویت سازه‌های بتونی موجود، استفاده از دیوار برشی می‌باشد. از این رو مدل قاب در گاهی مورد نظر با فرض افزودن دیوار بتون مسلح داخلی به صورت یک دیوار برشی یکپارچه با میزان مصرف فولاد مساوی، نیز معادل سازی شده است. این گزینه علی‌رغم افزایش سختی اولیه سازه و میزان برابری نهایی به میزان $5/93$ و $2/46$ برابر سازه ترکیبی با پانل، دارای یک نقطه ضعف عمده می‌باشد؛ زیرا پس از رسیدن به حد نهایی باربری، دچار شکست ترد برشی می‌گردد. این شکست ناشی از کم بودن آرماتورها و نسبت پایین ارتفاع به طول مدل می‌باشد که به طور مشابه در آزمایشات بر روی تیرهای عمیق نیز مشاهده شده است.

به عنوان یک نتیجه‌گیری نهایی می‌توان توضیحات فوق را به صورت زیر خلاصه نمود: مدل قاب خمشی به علت سختی جانبی کم، در برابر نیروهای جانبی دچار تغییرشکلهای زیادی شده و به ازای نیروی جانبی کمتری نسبت به دیوار برشی دچار شکست می‌گردد. همچنین به دلیل نرمی قابل توجه آن، مکانیزم کاهش سختی جانبی با سرعت و شتاب کمتری حادث می‌گردد. از سوی دیگر، مدل دیوار برشی یک سیستم بسیار سخت با مقاومت جانبی قابل ملاحظه است. رفتار این مدل با فرض مصرف آرماتور یکسان با پانل ساندویچی، به صورت شکننده می‌باشد. اما در حالت ترکیب قاب و پانل، عملکرد خمشی و شکل‌پذیر قاب خمشی اولیه به همراه عملکرد برشی و همراه با سختی جانبی نسبتاً بالای پانل، سختی و مقاومت لازم در برابر نیروهای جانبی ناشی از تحریکات شدید تأمین شده است.

جدول (۵): مقایسه کمی نتایج مطالعات آزمایشگاهی و عددی.

درصد اختلاف (%)			Perform (۳)	Ansys (۲)	نتایج آزمایشگاهی (۱)	معیار مقایسه
$\frac{3}{2}$	$\frac{3}{1}$	$\frac{2}{1}$				
۴/۲	۸/۱	۵/۷	۹۷/۵	۹۳/۶	۹۰/۲	حداکثر نیروی اعمالی ^۱ (کیلونیوتن)
—	۷/۴	—	۲۷/۶	—	۲۵/۷	حداکثر تغییر مکان ^۰ (میلیمتر)
۱۶/۲	۱۹/۴	۲/۸	۱۲/۹	۱۱/۱	۱۰/۸	سختی اولیه ^۰ (کیلونیوتن / میلیمتر)
—	۵/۷	—	۳/۷	—	۳/۵	شكل پذیری ^۰ (بی بعد)

$$\mu = \frac{\Delta_{max} - \Delta}{\Delta_{max}} \quad K_i = \frac{\Delta_{max} - \Delta}{P_{max}} \quad P_{max} = \frac{F}{A}$$

در تغییر شکلهای محدود افزایش یابد.
ب- سیستم ترکیبی با پانل دارای سختی اولیه نسبتاً مناسبی بوده و طی مراحل متوالی بارگذاری به تدریج دچار کاهش سختی شده است. شکل منحنی کاهش سختی این سیستم مشابه قاب خمی، کاملاً هموار و با شیب مناسب می‌باشد و در آن پله‌های ناگهانی کاهش سختی مشاهده نمی‌شود. اما در حالت دیوار برشی معادل، سختی اولیه بسیار زیاد بوده و تا حد برابری جانبی زیادی عملکرد خطی خود را حفظ می‌نماید.

پ- در گزینه ترکیبی قاب و پانل، به ویژه در ساختمانهای کوتاه، مزایای هر دو سیستم متداول قاب خمی (عملکرد خمی نرم و شکل پذیر) و دیوار برشی (عملکرد برشی با مقاومت و سختی اولیه بالا) تا حد زیادی مشاهده شده و معایب آنها نیز مرتفع گردیده است.

ت- مقایسه نتایج مطالعات آزمایشگاهی و عددی بر روی مدل ترکیبی قاب و پانل نشان می‌دهد علی‌رغم تمامی ساده‌سازی‌های صورت گرفته در مدلسازی‌های نرم‌افزاری، نتایج تطابق بسیار خوبی با یکدیگر دارند و می‌توانند در تحقیقات آتی نیز مورد استفاده قرار گیرند.

۶- سپاسگزاری

در خاتمه از زحمات چند ماهه آقایان جهانپور و شاهمرادی که در قالب پایان‌نامه کارشناسی ارشد، مسؤولیت انجام بخش عمده‌ای از مطالعات آزمایشگاهی را بر عهده داشتند، نهایت تشکر و قدردانی به عمل می‌آید.

شکننده‌تر بودن رفتار مدل‌های عددی نسبت به مدل‌های آزمایشگاهی است. همچنین وجود پله‌های متوالی در منحنی پوش مدل آزمایشگاهی به خصوص در مرحله کاهش باربری به علت ناهمگنی‌های موجود در ساخت و یا اتصالات اعضاء به یکدیگر می‌باشد. از این مسئله در مدلسازی‌های عددی چشم‌پوشی گردیده و به این ترتیب منحنی پوش شکل هموارتری پیدا می‌کند.

به این ترتیب می‌توان این گونه نتیجه‌گیری کرد که علی‌رغم تمامی ساده‌سازی‌های صورت گرفته در مدلسازی سیستم ترکیبی در نرم‌افزار Perform، از جمله رفتار چندخطی مصالح مصرفی، شرایط تکیه‌گاهی صلب و کاملاً پیوسته، همگن بودن اجزاء، چشم‌پوشی از نارسانی‌های حین ساخت و مهمتر از همه اتصال کامل تمامی اجزاء به یکدیگر (پانل و قاب)، همچنان نتایج آنالیزهای عددی و مطالعات آزمایشگاهی تطابق بسیار خوبی دارند و می‌توانند در سایر مدلسازی‌های عددی نیز مورد استفاده قرار گیرد.

۵- نتیجه‌گیری

در نهایت می‌توان با تکیه بر داده‌های موجود در جداول و منحنی‌های ارائه شده در بخش‌های گذشته، نتیجه‌گیری‌های زیر را بیان نمود:

الف- اگرچه افزودن پانل به قاب بتن مسلح موجود سبب کاهش ۲۱ درصدی در میزان پریود ارتعاشی مود اول می‌گردد، اما افزایش سختی، شکل پذیری و همچنین باربری نهایی قاب اولیه به ترتیب به میزان ۸۰، ۳۰ و ۴۰ درصد باعث شده است تا سطح ایمنی و عملکرد مورد انتظار از سازه بالاخص

۷- مراجع

۸. جهانپور، علیرضا (۱۳۸۲). تعیین ضریب شکل‌پذیری و برآورد ضریب رفتار پانل‌های ساندویچی، پایان‌نامه کارشناسی ارشد، دانشگاه صنعتی امیرکبیر، تهران، ایران.
۹. دستورالعمل بهسازی لرزه‌ای ساختمانهای موجود (۱۳۸۱). پژوهشگاه بین‌المللی زلزله‌شناسی و مهندسی زلزله.
10. Federal Emergency Management Agency (FEMA) (2000). Prestandard and commentary for the seismic rehabilitation of buildings, Report No. FEMA 356, FEMA, Washington, D.C.
11. Federal Emergency Management Agency (FEMA) (2000). Prestandard and commentary for the seismic rehabilitation of buildings, Report No. FEMA 273, FEMA, Washington, D.C.
۱۲. صافحیان، مجید (۱۳۸۶). تحلیل دینامیکی غیرخطی قابهای بتن مسلح تقویت شده با پانل‌های پیش‌ساخته ساندویچی، پایان‌نامه کارشناسی ارشد، دانشگاه صنعتی امیرکبیر، تهران، ایران.
13. Structural Engineering Software, RAM International (2000). Ram perform user guide 3D-Ver.1.25, www.ramperform.com.
1. Thome, S. and Rizzo, C. (2004). Upgrading concrete floors, *Concrete International*, **26**(6).
2. Jagdish, C. and Nijhawan, P. (1998). Insulated wall panels interface shear transfer, *PCI Journal*, May-June, **95**(8), 48-59.
3. Rezaifar, O., Kabir, M.Z., Taribakhsh, M., and Tehranian, A. (2008). Dynamic behaviour of 3D-panel single-story system using shaking table testing, *Engineering Structures*, **30**(2), 318-337.
4. Kabir, M. (2005). Structural performance of 3D sandwich panels under shear and flexural loading, *Scientia Iranica*, **12**(4), 402-408.
5. Einea, A. (1992). Structural and thermal efficiency of precast concrete sandwich panel system, Ph.D. Dissertation, Department of Civil Engineering, University of Nebraska-Lincoln, Omaha.
۶. باقرزاده، افшин (۱۳۷۸). تعیین پارامترهای مکانیکی پانل‌های ساندویچی، پایان‌نامه کارشناسی ارشد، دانشگاه صنعتی امیرکبیر، تهران، ایران.
۷. نجفی، مجتبی (۱۳۸۲). مطالعات آزمایشگاهی و عددی بررسی بین‌لایه‌ای در پانل‌های ساندویچی، پایان‌نامه کارشناسی ارشد، دانشگاه صنعتی امیرکبیر، تهران، ایران.